

神戸大学工学部 正員 西村 昭 大林組 正員 三好哲也
○建設工学研究所 正員 大字 明

1. はじめに

スタッッドジベルを用いた合成桁において、コンクリートが破壊する場合のジベルの静的極限耐力をコンクリートの支圧強度をパラメーターにして、スタッッドジベルの縦ピッチ(橋軸方向)について論じ、これまで多くの研究者達によつて得られた静的極限耐力の実験値を、われわれの得た値とともに D.R. Plum のグラフにプロットしてやうやくの総合的検討を試みた。この際、実験値は、押し抜き試験に限定し、補強の影響を無視した。

2. スタッドジベルの静的強度と支圧強度

① D.R. Plum¹⁾ は図-1 の供試体でダウエル作用について実験し、(i) 式

$$\begin{aligned} \frac{8/\sqrt{f_c}}{d} &= c/\sqrt{d/d} \\ \frac{8/\sqrt{f_c}}{d} &= c'/\sqrt{d/d} \end{aligned}$$

のような実験式を得た。(図-4,5 参照)
ただし、 δ は破壊時の荷重 P を鋼棒の埋込み部分の断面積の半分 ($dD/2$) で割った値、 d は鋼棒の直径、 f_c' はコンクリートの 28 日強度、 D は有効幅(図-1)である。この式(i)は支圧強度に關係がある²⁾

② 藤井³⁾ は直径 19 m.m. の丸鋼を半分埋込み剛体的に載荷する実験を行なつてある。支圧強度 σ_u を式(2)として整理すると表-1 のようになる。

$$\sigma_u = \sqrt{A/A'} f_c' \quad (2)$$

ただし、 A は割裂応力が 0 になつたコンクリート断面積、 A' は支圧面積である。

③ 西村ほか^{4),5)} および他文献^{6),7)} よりスタッッドジベルについて式(2)を使つて整理すると、表-2 のようになる。

表-2 では A をジベルの横ピッチ(橋軸直角方向)とスラブ厚の積とし、 A' は A をスラブ横断面積をジベルの横断方向の本数で割った値として式(2)より計算した値である。破壊形態は、表-2 文献欄の 7 ではスタッッドの背面で楔状にコンクリートがせざとられ、文献欄 4 では縦方向にクラックが入り、5 ではスラブ端部でスタッッドの高さ方向にクラックが入つた。11 は楔状に破壊するのには偏心による引き抜きが関係している。

ると考えられ、縦クラックは支圧による割裂応力によると考えられる。表-1, 表-2 より、(i) 楔状に破壊する場合には、支圧破壊する場合より、縦ピッチに比べ、高さが低い(約 4 倍) (ii) 強度が支圧

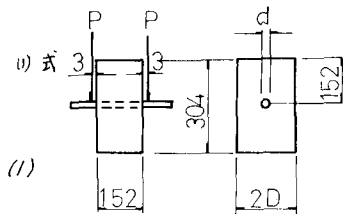


図-1

骨材			A	B
	C (kg/cm ²)	Q (kg/cm ²)	q/f _c '	q/f _u '
天然	240	1120	22.9	0.9
	368	1530	25.2	0.8
ライオ	221	1020	21.7	0.9
	309	1330	23.9	0.8
ナイト	223	1040	22.1	0.9
	364	1500	24.9	0.8

注(a) 文獻(b)より δ の計算には質量コンクリートについて、弹性係数を考慮した。

(b) A 不關の単位は N/mm² である。

(c) 金剛棒が 12 cm L 以上のものは無視した。

表-1

破壊する場合より大きさ (約 2 倍) Ⅲ)

かぶり (表-2 参照) が大きさと強度が増す (補強の影響がある)。Ⅳ) 檜状にジベル背面で剥離する場合は支圧強度に対する比が ② の場合と大体同じである。Ⅴ) スラブ全横断面有効とした場合、支圧強度に対する比が 30~60% である。の 5 点があわかる。

3. われわれの実験

図-2 の供試体ごと、斜線を引いた鋼製の箱に穴を開け、D-16 の異形鉄筋を水平に通して、内外部にコンクリートを打設して、箱の部分を載荷した。

附着防止のため、箱の外面にペンキとグリスを塗った。セメントは早強ポルトランドセメント、骨材は天然産である。コンクリートの 8 日強度は 35.2 kg/cm^2 である。

試験荷重は上限を漸増する静的反復荷重とした。実験目的はリブ付コネクター⁵⁾の力学的性状を知ることを中心としたものである。結果を表-3 に示す。

4. 従来の実験値の考察

D. R. Plum の式(4)で、D はジベルの横ピッチとした。また、リブ付コネクターの 8 の計算に当たって、 $H/D < 4$ (H はジベルの高さ) の場合の値と比較するために、リブの片方の鉄筋一本が負担する破壊荷重を d^2 で割ったものを補正した。比較のために、単位はニュートン、mm を使用。D. R. Plum の値 (CP117 による) を同時にプロットしてある。

結果^{1), 4), 5), 6)} を図-3, 4 に示す。我々の実験値は Plum の図¹⁾から 3) 用いた。CP117 値に大体一致している。図-3, 4 で実線が Plum の値 (CP117 値) であり、点線、および、一点鎖線は、本実験、および他文献からの目安となる曲線である。

割裂破壊を起した場合³⁾、リブ付コネクターの場合⁴⁾には、図-3, 4 とともに Plum の曲線 (CP117 によると) より下にきている。ジベルの頭を頂点として、檜状に破壊する場合⁷⁾ および、ジベルのはしあき (かじり、表-2 参照) が大きく、スラブ幅が大きい場合⁶⁾ には、図-3 では、Plum の曲線より上になってしまっており、図-4 では延長線上になってしまっている。また D. R. Plum¹⁾ は 図-3, 4 で $\frac{d}{d} > 6$, $D > 8$ の場合 CP1

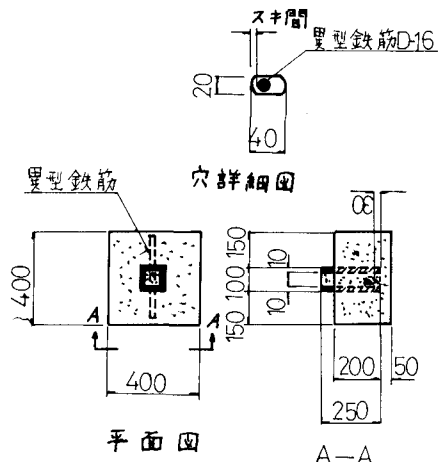
欄		A	B
文献	骨材	d	H
6	N	19	10.2
		25	"
		32	"
7	A	19	7.6
	B	"	"
	C	"	"
	D	"	"
	E	"	"
4	IN	19	10.0
	L	"	"
5	N	19	15.0

注 i) N: 天然骨材、L: 軽量骨材、A: 天然碎骨材、B: 天然河骨材

C, D, E: 文献 7. 2) 指定した軽量骨材、d: スタッド直径、H: スタッドの高さ、Sb: スラブ幅、St: スラブ厚、Pe: スタッドの横ピッチ、Pl: スタッドの総ピッチ、かじり: スタッドヒスラブ端部までの総距離

ii) 軽量骨材を使用したコンクリートは 21.2 は、8 の計算に当り、コンクリートの弹性係数の比の平方根を乗じた。

表-2



平面図 A-A

図-2

穴のスキ間 (m, m)	破壊時荷重 (t)
0	15.76
1	18.58
2	17.25

表-3

表-3 では、Plum の曲線より上になってしまっており、図-4 では延長線上になってしまっている。また D. R. Plum¹⁾ は 図-3, 4 で $\frac{d}{d} > 6$, $D > 8$ の場合 CP1

17に従うと、 $8/\sqrt{f_c}$ は一定値となりえるが、ジベルの耐力が、静的にスラブの破壊が決まる場合は一定値にならず、スタッドの疲労が問題になる場合には、その疲労強度であるから $3\sqrt{d}$ とみ推察される。

5. おわりに

以上から次のようない結論が導かれる。

① 従来の結果の $8/\sqrt{f_c}$ 対 D (または D/d) のプロットから、図-3, 4 の 5 つの式が成立する。点群が供試体の幾何学的形状 (P_t, P_s, S_b, S_t , など、表-2 参照) により左右されるか係数 C を実際により近い実験結果から決定すれば、横ピッチが小さい場合について、従来の実験式より、適切な設計式が得られるのではないかと思われる。

② その他資料から得られる二つと、

i) 破壊には大別して、ジベルの頭を頂点とした楔状にジベル背面でスラブが破壊する場合と、支圧による破壊がある。ii) 前者の場合は後者に比し、強度が大きく、ジベルのはしあき(かぶり、表-2)、縦ピッチが大きくなければならない。最後に御協力いただいた神戸大学助教授藤井博士に深く感謝の意を表します。

6. 文献

1. D. R. Plum; "Strength of studs in Composite Construction", pp. 319~335, University of Manchester, April, 1972
2. 藤井常: "P.C. 設計上の諸問題" プレスレストコンクリート最近の進歩, 土木学会関西支部 昭和41年11月
3. 藤井常: "軽量コンクリートの支圧変形特性" セメント技術年報 pp. 475~480 XXIII 昭和44年
4. 西村昭子: "摩擦接合部材のコンクリートの協同作用に関する研究" 神戸大学卒業研究 昭和45年
5. 西村昭子: "合成平行の接合効果に対する研究" 神戸大学卒業研究 昭和45年
6. I. M. Viest; "Investigation of Stud Shear Connectors for Composite Concrete and Steel T-Beams" Journal of A. C. I., Vol. 27, No. 8, pp. 875~891, 1956
7. J. G. Ollgaard, R. G. Slutter, & J. W. Fisher; "Shear Strength of Stud Connectors in Lightweight and Normal-weight Concrete", AISC Engineering Journal, pp. 52~64, April, 1971

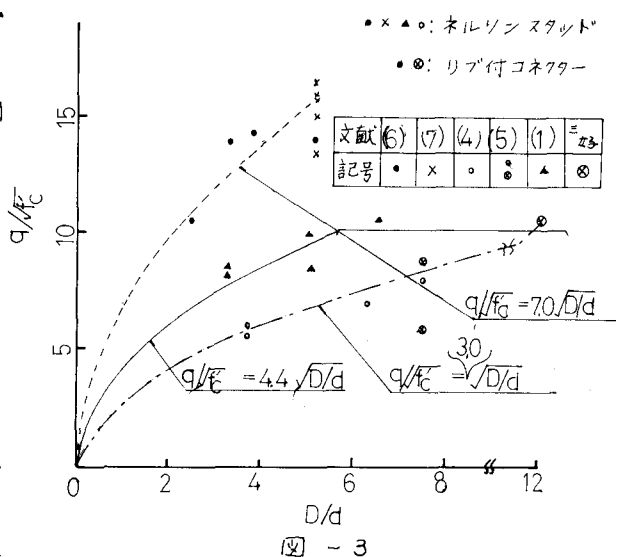


図-3

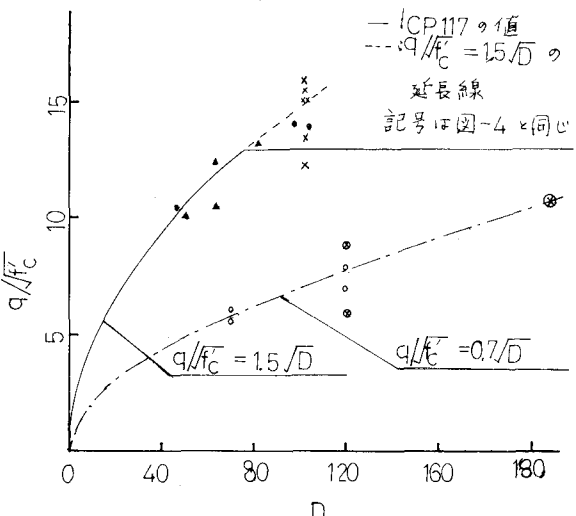


図-4